

III-9

強混合河川に於ける塩分侵入の数値計算法

九州大学工学部 正員 橋 東一郎
九州大学工学部 正員 粟谷 陽一
九州大学工学部 正員 ○ 古本 勝弘

1. まえがき

感潮河川に於いては、河道中への塩分侵入という一つの大きな問題がある。そのうち謂ゆる強混合型と称される河川に於いて、塩分侵入状況を予測すること下、原理的には、一次元の拡散方程式を適当な條件の下で解くことに帰着する。この論文では、その拡散方程式に於いて、或数変換を行うことにより、非常に簡単化された解の数値計算法を示すことができている。又、この計算法を用いて求められた二、三の水理量の変化に伴う塩分濃度分布の変化の様子を示し併せて、筑後川にこの計算法を適用し、実測値と計算値との比較を行っている。これらの計算結果は、實際の感潮河川に於ける塩分侵入の性状をかなりよく再現していることを認め得た。従来、この種の問題に関する限り、古くから Ketchum, Stommel and Arrows, Ippen and Harleman 等他によて多くの研究がなされて來ている。しかし、それらの多くは、一潮時に於ける平均的取り扱いをすることによって、問題を簡単化しているため、我が国に於ける我々の短い河川への適用には向思ひが多い。我が国に見られる様な河川への適用性という点からは、こゝに示す計算法は、かなりの有用性をもつものと考える。

2. 变数変換と基本拡散方程式

河口附近の流れは、下げ汐時には、上流から流入する淡水のいくぶんの量は外海に放出され、上げ汐時、その一部が再び逆流してくるが、この間の塩分濃度の変化は、河口及び外海に於ける水理条件に左右されるものと考えられる。多くの河川では、河口での flushing 作用が強いため、下げ汐時放出される河口水は外海で充分混合稀釈され、上げ汐時には、河口から流入していく流れにて、一定塩分濃度をもつ海水と殆んど置換されている。このことを考え、河口に於ける塩分濃度は、いかなる潮時に於いても一定の海水の塩分濃度を保つことと假定し、これを河口に於ける境界条件とす。即ち、この条件を實際の河川で考へれば、地形上から決められる河口を若干、海側に移し、常に一定濃度の海水が存在する地盤を、ここで言う河口とするのである。このたる境界条件の下に拡散方程式

$$\frac{\partial C}{\partial t} + u \cdot \frac{\partial C}{\partial x} = \frac{1}{A} \cdot \frac{\partial}{\partial x} (AD_L \frac{\partial C}{\partial x}) \quad \dots \dots \quad (1)$$

の解を数値的に求めることが可能である。こゝに、 C = 塩分濃度、 x = 下流向きに正の距離、 A = 流れ断面積、 D_L = 该れ方向拡散係数、 u = 断面平均流速。

しかし、その上には、任意の時刻 t 、任意の位置 x に於ける $u(x, t)$ 、 $A(x, t)$ 及び $D_L(x, t)$ を与えなければならず、取り扱いがかなり厄介である。数値計算を簡略化するために、(1)式を次のように変形する。先づ、感潮部最上流端を原点として、 x -軸を取り、任意の x -断面までの水量を V とすれば、 $V = \int_0^x A(x; t) dx$ $\dots \dots \quad (2)$

上流端から流入する河川固有流量を R とすると、任意断面に於ける流速は、

$$u = (\frac{1}{A}) \cdot [R - (\partial V / \partial t)] \quad \dots \dots \quad (3)$$

で与えられる。 (1) 式に於けて、独立変数を (x, t) から (V, t) に変換すると、(2)式より

$$\left(\frac{\partial}{\partial x}\right)_t = \frac{\partial V}{\partial x} \cdot \frac{\partial}{\partial V} = A \cdot \frac{\partial}{\partial V}, \quad \left(\frac{\partial}{\partial t}\right)_x = \frac{\partial V}{\partial t} \cdot \frac{\partial}{\partial V} + \frac{\partial}{\partial t} \quad \dots \quad (4)$$

(3) 及び (4) 式を用いると、(1)式は、次の様に表わされる。

$$\frac{\partial C}{\partial t} + R \cdot \frac{\partial C}{\partial V} = \frac{\partial}{\partial V} \left(A^2 D \cdot \frac{\partial C}{\partial V} \right) \quad \dots \dots \dots \quad (5)$$

更に取り扱いを容易にするために $A^2 D_L$ の値として、入退潮一週期についての平均値を用いれば、 $A^2 D_L$ は V だけの関数として扱うことが可能である。 Harleman は、G.I.Taylor の pipe flow の拡散係数に関する式を海水流れに拡張した式を作り、潮流による拡散係数として、その式に一潮汐平均潮流速度 ($2/\pi$) U_m を代入して求め、実験的にも確かめている。 実際には、入退潮に伴て、径深も變化するため、(1)式において、 x と V の一週期についての平均値を用やうとすると、かなりの不合理が生じる。(5)式の様に独立して x における V が一定な点、即ち入退潮に伴て、通過を上下するため、固定した V 点に於ける潮流速度として、一潮汐間の平均値を用いても、固定した x 点での平均値を取るよりは、その不合理を避けなければならない。

従て、いかなる形状を有する河川に方々でも、各 V 点で実地測量されたデータを基に $A^2 D_L$ の一潮汐間の平均値を任意の V の関数で与えられれば、(5)式の数値解を求めるこことは容易である。独立変数を x から V に変え、基本方程式を (1)式から (5)式に改めると、一潮汐間で平均的取扱いをする不合理を避けられた上、式の中で $U(x,t)$ の $R(\text{const.})$ に変えられた数値計算は、大幅に簡略化されてしまう。

V 座標の下では、地理的な固定点である河口の V の値 ($=V_0$) は、潮流と共に絶へず変化する。これは (2)式に於いて、 x に河口の値 ($=x_0$) を代入すれば求められる。境界条件として、その V_0 点で海水濃度を与えることになる。数値計算は (5)式を差分方程式にして行う。 V 及 U と等しい時間隔 ΔV 及 Δt で分割し、 $V = m \cdot \Delta V$, $t = n \cdot \Delta t$ [m, n は整数] に方々 i は濃度を $C_{m,n}$ で表わすと、 ΔV , Δt は関する高次の微小項を省略して、一般に、次の形で計算されている。

$$C_{m,n+1} = C_{m,n} \{ 1 - 2 K_m (\Delta t / \Delta V^2) \} \\ + C_{m+1,n} \{ (4 K_m + K_{m+1} - K_{m-1}) (\Delta t / 4 \Delta V^2) - (R/2) (\Delta t / \Delta V) \} \\ + C_{m-1,n} \{ (4 K_m - K_{m+1} + K_{m-1}) (\Delta t / 4 \Delta V^2) + (R/2) (\Delta t / \Delta V) \} \quad \dots \quad (6)$$

但し、 $K = A^2 D_L$ とおき一潮汐間の平均値である。添字で V の位置を示している。(即ち、河口 $V = V_0$ における $C = C_0$ (海水濃度) なる境界条件のため、河口近傍で、退潮時濃度分布に非常に大きな曲率を生じるため、 R による輸送を (6)式に方々ける様に置いた Δt は、 C の高次の微小項を省略して影響を受けられない)。率い、(5)式の表現を用いれば、 R は V によらずに常数となるから、この不都合をなくすため (6)式の代りに、 $C_{m,n+1} = C_{m',n} \{ 1 - 2 K_{m'} (\Delta t / \Delta V^2) \} \\ + C_{m'+1,n} \{ (4 K_{m'} + K_{m'+1} - K_{m'-1}) (\Delta t / 4 \Delta V^2) \} \\ + C_{m'-1,n} \{ (4 K_{m'} - K_{m'+1} + K_{m'-1}) (\Delta t / 4 \Delta V^2) \} \quad \dots \quad (7)$

$$\therefore (i), \quad m' = m - [(n+1) \cdot R \cdot (\Delta t / \Delta V)] + [n R (\Delta t / \Delta V)] \quad \dots \quad (8)$$

[……] は Gauss の整数記号である。(7),(8)式は、 R による輸送項は單に V 方向の平行移動を表わすにすぎず、河口近傍での不都合を避けられる。これは (1)式を最初計算した時と同じ。

不可能なことであり、(5)式の表現を用いた利点の一つである。以上のことを基にすると計算の流れは次の様である。先づ、(a) 河川を ΔV 間隔に分割し、各分割点に任意の水力基準濃度分布を与える。(b) 各V点で実測データから求められた K_m を与え、 t 時刻後の濃度分布を(7)式により計算。(c) 河川における境界条件により、(2)式で求められる V_0 地点とそれより海側に於ける濃度を海水濃度に置換。(d) (c)の段階で得た濃度分布を基に、更に Δt だけ進んだ時刻の濃度分布を(b),(c)の同じ操作で求め、潮汐による週期解を得るには、この操作を同一潮時に同じ濃度分布が得られるまで繰り返さなければならぬ。 V_1 について解が得まとると、(2)式を繰り工业园て、 V_2, \dots, V_n に替えてやると、河川延長方向の濃度分布が得られる。

3. 数値計算例

実際河川についての計算は、 $A^2 D_L$ を実測データを基に、 V で表わすのであるが、ここで $A^2 D_L$ と V のみの函数で容易に表現できる三角錐モデルの計算について述べる。

この様な水路では、入退潮の time lag を無視すれば、感潮部の形造り prism は、右図の様に潮汐と共に形状を変えることなく、一体となって移動する。 Harleman は、さらで拡散係数を潮流速度と経深の平方に比例する形であると仮定すると、潮流速度は V に

$$\text{よろな} \sim \text{か} \quad \text{経深} \propto V \quad \text{とおな} \sim \text{れ} \quad D_L \propto V^{\frac{1}{2}},$$

故に、 $K = A^2 D_L \propto V^{\frac{4}{3}} \cdot V^{\frac{1}{2}} = V^{\frac{5}{3}}$ この関数を K に用い、更に簡単のために、干潮の位置 V_0 を決めるのに、次の手順を方法をとった。時間の始点 ($t=0$) を干潮時に取り、河川の潮流量を近似的に、 $Q_0 = -Q_{\max} \sin 2\pi(t/\tau)$ とする。河川より上流の volume の時間増加量は、 $\int_0^t Q_{\max} \sin 2\pi(t/\tau) dt$ で表われる。故に、 V_0 を決めるには(2)式で置換せてもよい。 $V_0 = V_{low} + Q_{\max}(\tau/2\pi)(1 - \cos 2\pi(t/\tau))$ V_{low} は干潮時の V_0 の値。更に、干潮時河口に於ける D_L を D_{L00} と表し、 D_{L00}, Q_{\max} は R の 3 種の値に対する過分の侵入状況を示したのが図-1 (a)~(g) である。計算に用いたモデルの寸法は、干潮時に於く河川断面積 $A_{00} = 1.2 \times 10^3 \text{ (m}^2\text{)}$ 、感潮部 $Z_{00} = 10 \text{ (km)}$ である。図-1 (a), (b), (c) は D_{L00} の、(d), (e), (f), (g) は Q_{\max} の、(h), (i), (j) は R の変化に対する影響を示している。

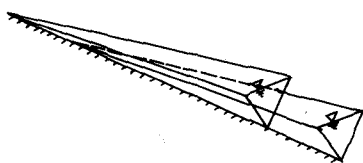
次に、以上の計算法を筑後川に適用してみる。筑後川の干潮時と満潮時に於ける流速断面積の平方根をその地図と共にプロットすると、図-2 のようになる。近似的に、二本の平行直線の上に落ちる。この図から、筑後川は三角錐水路モデルと近い形態であることがわかるので、ここでは簡単のため三角錐水路と見做して上記と同様の計算を行った。この河川の寸法は図-2 に示す通り、感潮区域は 13.5~30 km である。

濃度分布が観測された 1967 年 9 月 1 日の河川最大潮流量 Q_{\max} は、表々。

$Q_{\max} = 2.36 \times 10^3 \text{ (m}^3/\text{sec}\text{)}$, $R = 24.2 \text{ (m}^3/\text{sec}\text{)}$ であった。これらの数値と、 D_{L00} として $25.0 \text{ (m}^3/\text{sec}\text{)}$ の値を用いた場合の計算分布と観測濃度分布との比較を図-3 に示してみる。

図-3 によると、計算結果は、実際の過分侵入状況をかなりよく再現していることを認め。この計算は筑後川を三角錐水路と見做しているため、むしろ粗らすぎる假定を含んでいる。若し $A^2 D_L$ の値を実際の河川データを基にして、細かく V の関数として与えたらどうなる結果は更に改良されうであろう。

最後に、実際河川の拡散係数に割合の問題が残されている。これは D_{L00} の値と実測分布をよく説明する値を選んでいいから、本来なら、この計算とは別途に、その河川の水理量によって拡散係数は



予知されなければならぬことは、更に地形的な意味でのばかりではなく、境界条件を与えておけば、ばかりをどの地点に取扱うかということとも問題である。したがつて一つの問題が解決されば、ほかに述べた方法でかなりの程度、沿岸侵入を予知できるものと思われる。

までの計算は全て、九州大学中央計算施設 OKITAC 5090 M を用いた。

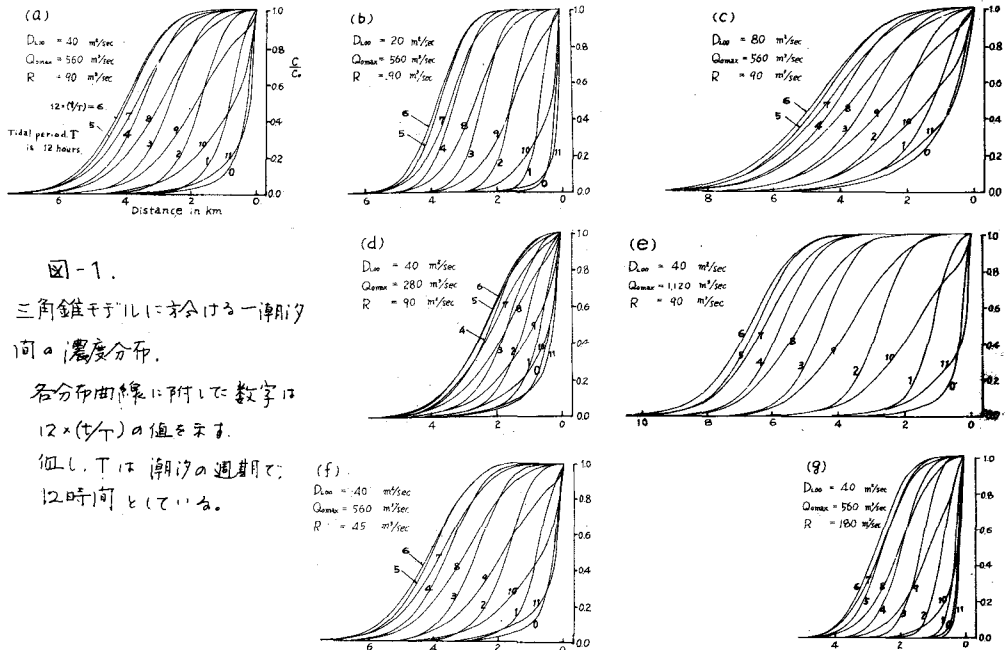


図-1. 三角錐干潟に於ける一潮汐周期の濃度分布。

各分布曲線上に附して数字は
 $12 \times (t/T)$ の値を示す。

但し、T は潮汐の周期で、
 12 時間 としている。

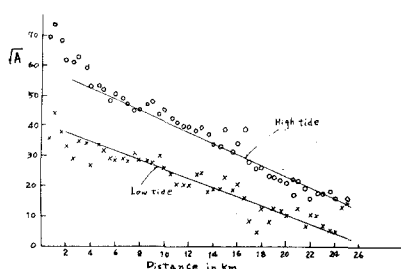


図-2. 筑後川に於ける干満潮時の流水断面積

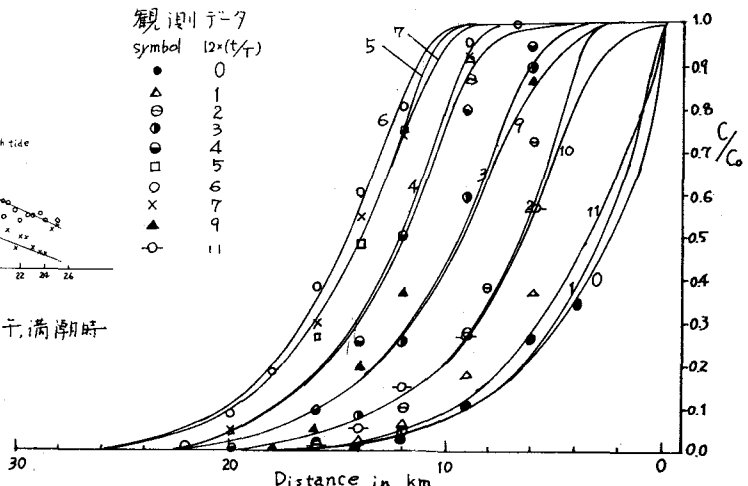


図-3. 実測値と計算値との比較

但し、計算値は実線で示す。それに附して数字は $12 \times (t/T)$ の値。